

Disciplina: CPC-777 Modelagem e simulação de reservatórios

Professor (es): Paulo Couto

Aluno (a): Vivian de Carvalho Rodrigues

DRE: 121010011

## **Relatório: Lista 2**

## Histórico de revisões

Rev.	Data	Motivo
0	02-out-2021	Primeira emissão (disponível na atividade Lista 2- Google classroom)
<a href="#">1</a>	<a href="#">09-out-2021</a>	<a href="#">Ajustes na metodologia implícita (código e resultados)</a>

## Sumário

1.	Introdução.....	3
2.	Problema 1 .....	3
2.1	Resolução.....	3
3.	Problema 2 .....	5
3.1	Resolução.....	6
3.2	Esquema explícito .....	7
3.3	Esquema implícito .....	9
4.	Resultados .....	12
4.1	Analítico .....	12
4.2	Numérico – esquema explícito .....	13
4.3	Numérico – esquema implícito .....	14
5.	Conclusão .....	15
6.	Referências bibliográficas.....	15
	Anexos .....	16

## 1. Introdução

Este relatório tem por objetivo apresentar a resolução dos problemas referentes a Lista 2 da disciplina Modelagem e simulação de reservatórios (CPC 777).

## 2. Problema 1

Provar a através de Séries de Taylor que as seguintes aproximações são verdadeiras [1]:

$$\frac{df}{dx} = \frac{-f(x_{i+2}) + 8f(x_{i+1}) - 8f(x_{i-1}) + f(x_{i-2})}{12\Delta x} + \varepsilon(\Delta x^4)$$

$$\frac{df}{dx} = \frac{-f(x_{i+2}) + 4f(x_{i+1}) - 3f(x_i)}{2\Delta x} + \varepsilon(\Delta x^2)$$

$$\frac{d^2f}{dx^2} = \frac{f(x_i) - 2f(x_{i-1}) + f(x_{i-2})}{\Delta x^2} + \varepsilon(\Delta x)$$

Figura 1 – Enunciado do problema 1 da lista 2 [1]

### 2.1 Resolução

[3] A série de Taylor é definida da seguinte forma, para um ponto  $x$  em torno de ' $a$ ' e ' $x > a$ ':

$$f(x) = \sum_{k=0}^{\infty} \frac{(x-a)^k}{k!} f^{(k)}(a) = f(a) + (x-a) \left. \frac{df}{dx} \right|_{x=a} + \frac{(x-a)^2}{2!} \left. \frac{d^2f}{dx^2} \right|_{x=a} + \frac{(x-a)^3}{3!} \left. \frac{d^3f}{dx^3} \right|_{x=a} + \dots + \frac{(x-a)^n}{n!} \left. \frac{d^nf}{dx^n} \right|_{x=a} \quad (\text{Eq.1})[2]$$

Para um ponto em torno de ' $a$ ' e ' $x < a$ ':

$$f(x) = \sum_{k=0}^{\infty} \frac{(x-a)^k}{k!} f^{(k)}(a) = f(a) - (x-a) \left. \frac{df}{dx} \right|_{x=a} + \frac{(x-a)^2}{2!} \left. \frac{d^2f}{dx^2} \right|_{x=a} - \frac{(x-a)^3}{3!} \left. \frac{d^3f}{dx^3} \right|_{x=a} + \dots + \frac{(-1)^n (x-a)^n}{n!} \left. \frac{d^nf}{dx^n} \right|_{x=a} \quad (\text{Eq.2})[2]$$

Fazendo

$$\begin{aligned} f(x_{i+1}) &= f(x + \Delta x) \\ f(x_{i-1}) &= f(x - \Delta x) \\ f(x_{i+2}) &= f(x + 2\Delta x) \\ f(x_{i-2}) &= f(x - 2\Delta x) \end{aligned}$$

Onde

$$\begin{aligned} x_{i+1} - x_i &= \Delta x \\ x_{i-1} - x_i &= -\Delta x \\ \left. \frac{d^nf}{dx^n} \right|_{x_i} &= f^{(n)}(x_i) \end{aligned}$$

Então seguindo a expansão da ST no entorno de  $x_i$ :

$$(i) \quad f(x + \Delta x) = f(x_i) + \Delta x f'(x_i) + \frac{\Delta x^2}{2!} f''(x_i) + \frac{\Delta x^3}{3!} f'''(x_i) + \frac{\Delta x^4}{4!} f^{(4)}(x_i) + \dots + \frac{\Delta x^n}{n!} f^{(n)}(x_i)$$

$$(ii) \quad f(x - \Delta x) = f(x_i) - \Delta x f'(x_i) + \frac{\Delta x^2}{2!} f''(x_i) - \frac{\Delta x^3}{3!} f'''(x_i) + \frac{\Delta x^4}{4!} f^{(4)}(x_i) + \dots + (-1)^n \frac{\Delta x^n}{n!} f^{(n)}(x_i)$$

$$(iii) \quad f(x + 2\Delta x) = f(x_i) + 2\Delta x f'(x_i) + \frac{(2\Delta x)^2}{2!} f''(x_i) + \frac{(2\Delta x)^3}{3!} f'''(x_i) + \frac{(2\Delta x)^4}{4!} f^{(4)}(x_i) + \dots + \frac{(2\Delta x)^n}{n!} f^{(n)}(x_i)$$

$$(iv) \quad f(x - 2\Delta x) = f(x_i) - 2\Delta x f'(x_i) + \frac{(2\Delta x)^2}{2!} f''(x_i) - \frac{(2\Delta x)^3}{3!} f'''(x_i) + \frac{(2\Delta x)^4}{4!} f^{(4)}(x_i) + \dots + (-1)^n \frac{(2\Delta x)^n}{n!} f^{(n)}(x_i)$$

Subtraindo (ii) de (i)

$$\begin{aligned} f(x + \Delta x) - f(x - \Delta x) = \\ 2\Delta x f'(x_i) + \frac{2\Delta x^3}{3!} f'''(x_i) + \frac{2\Delta x^5}{5!} f^{(5)}(x_i) + \dots + \frac{2\Delta x^{2n+1}}{(2n+1)!} f^{(2n+1)}(x_i) \end{aligned} \quad (I)$$

Subtraindo (iv) de (iii)

$$\begin{aligned} f(x + 2\Delta x) - f(x - 2\Delta x) = \\ 4\Delta x f'(x_i) + \frac{2(2\Delta x)^3}{3!} f'''(x_i) + \frac{2(2\Delta x)^5}{5!} f^{(5)}(x_i) + \dots + \frac{2(2\Delta x)^{2n+1}}{(2n+1)!} f^{(2n+1)}(x_i) \end{aligned} \quad (II)$$

Fazendo 8 (I) – II

$$8f(x + \Delta x) - 8f(x - \Delta x) - f(x + 2\Delta x) + f(x - 2\Delta x) = 12\Delta x f'(x_i) - \frac{48\Delta x^5}{5!} f^{(5)}(x_i) + \dots$$

Isolando  $f'(x_i)$ , obtém-se, portanto:

$$f'(x_i) = \frac{8f(x + \Delta x) - 8f(x - \Delta x) - f(x + 2\Delta x) + f(x - 2\Delta x)}{12\Delta x} + \left\{ \frac{48\Delta x^4}{5!} f^{(5)}(x_i) + \dots \right\}$$

Fazendo 4 (i) – (iii)

$$4f(x + \Delta x) - f(x + 2\Delta x) = 3f(x_i) + 2\Delta x f'(x_i) - \frac{4\Delta x^3}{3!} f'''(x_i) - \frac{12\Delta x^4}{4!} f^{(4)}(x_i) - \dots$$

Isolando  $f'(x_i)$ , obtém-se, portanto:

$$f'(x_i) = \frac{4f(x + \Delta x) - f(x + 2\Delta x) - 3f(x_i)}{2\Delta x} + \left\{ \frac{2\Delta x^2}{3!} f'''(x_i) - \frac{6\Delta x^3}{4!} f^{(4)}(x_i) - \dots \right\}$$

Fazendo (iv) – 2(ii)

$$f(x - 2\Delta x) - 2f(x - \Delta x) = -f(x_i) + \Delta x^2 f''(x_i) - \frac{6\Delta x^3}{3!} f'''(x_i) + \frac{14\Delta x^4}{4!} f''''(x_i) + \dots$$

Isolando  $f''(x_i)$ , obtém-se, portanto:

$$f''(x_i) = \frac{f(x - 2\Delta x) - 2f(x - \Delta x) + f(x_i)}{\Delta x^2} + \left\{ \frac{6\Delta x}{3!} f'''(x_i) - \frac{14\Delta x^2}{4!} f''''(x_i) + \dots \right\}$$

### 3. Problema 2

2. O fluxo radial unidimensional em regime transiente é dado por:

$$\begin{aligned} \frac{\partial P_D}{\partial t_D} &= \frac{1}{r_D} \frac{\partial}{\partial r_D} \left( r_D \frac{\partial P_D}{\partial r_D} \right) \\ P_D(r_D, t_D = 0) &= 0 \\ \left( r_D \frac{\partial P_D}{\partial r_D} \right)_{r_D=1} &= -1 \\ \left( \frac{\partial P_D}{\partial r_D} \right)_{r_D=r_{eD}=r_e/r_w} &= 0 \end{aligned}$$

onde  $P_D$ ,  $r_D$  e  $t_D$  são as variáveis adimensionais

$$P_D = \frac{2\pi kh}{q_{o,std} B_o \mu_o} (P_i - P) \quad t_D = \frac{kt}{\phi \mu_o c_t r_w^2} \quad r_D = \frac{r}{r_w}$$

Utilizando os dados da Tabela 1, resolva o problema dado pelas Eqs. (1.4) e (1.5) por diferenças finitas utilizando:

- Formulação explícita;
- Formulação totalmente implícita; e

obtenha e plote os perfis radiais de pressão (dimensional) no meio poroso entre  $r_w$  e  $r_e$  para  $t = 1$  minuto,  $t = 1$  hora,  $t = 1$  dia,  $t = 30$  dias,  $t = 1$  ano e  $t = 10$  anos. Compare seus resultados com aqueles obtidos na lista 1. Como você interpreta seus resultados?

**Tabela 1. Dados para o problema 2.**

Parâmetro	Sistema de unidades	
	API	SI
$\phi$	20 %	20%
$c_t$	$1,5 \times 10^{-5} \text{ psi}^{-1}$	$2,18 \times 10^{-9} \text{ Pa}^{-1}$
$k$	150 mD	$148 \times 10^{-15} \text{ m}^2$
$h$	10 ft	3,048 m
$q_{o,std}$	3000 STB/dia	$518 \times 10^{-5} \text{ m}^3/\text{seg.}$
$B_o$	1,5 bbl/STB	$1,5 \text{ m}^3/\text{m}^3\text{std}$
$\mu_o$	0,33 cp	$3,3 \times 10^{-4} \text{ Pa.s}$
$P_i$	2.200 psi	$15,17 \times 10^6 \text{ Pa}$
$r_w$	3,5 pol.	0,0889 m
$r_e$	2.000 ft	609,6 m

Figura 2 - Enunciado do problema 2 da lista 2 [1]

## 3.1 Resolução

Seguindo os passos de resolução descrito em [2], a aproximação *forward* da derivada primeira de  $f(x_i)$  é

$$\left. \frac{df}{dx} \right|_{x_i} = \frac{f(x_{i+1}) - f(x_i)}{\Delta x} - \xi(\Delta x)$$

ou

$$f'(x_i) = \frac{f(x + \Delta x) - f(x)}{\Delta x}$$

Equação 1 - Aproximação *forward* da derivada primeira [2]

A aproximação centrada da derivada primeira é dada por:

$$\left. \frac{df}{dx} \right|_{x_i} = \frac{f(x_{i+1}) - f(x_{i-1}))}{2 \Delta x} - \xi(\Delta x^2)$$

ou

$$f'(x_i) = \frac{f(x + \Delta x) - f(x - \Delta x)}{2 \Delta x}$$

Equação 2 - Aproximação *central* da derivada primeira [2]

Ainda, para a aproximação centrada a derivada de segunda ordem fica da seguinte maneira:

$$\left. \frac{d^2 f}{dx^2} \right|_{x_i} = \frac{f(x_{i+1}) - 2f(x_i) + f(x_{i-1}))}{\Delta x^2} - \xi(\Delta x^2)$$

ou

$$f''(x_i) = \frac{f(x + \Delta x) + 2f(x) - f(x - \Delta x)}{\Delta x^2}$$

Equação 3 - Aproximação *central* da derivada segunda [2]

De acordo com [2], a equação do problema de fluxo unidimensional em regime transiente a ser resolvido:

$$\frac{1}{r} \frac{\partial}{\partial r} \left( r \frac{\partial P}{\partial r} \right) = \frac{\phi \mu c_t}{k} \frac{\partial P}{\partial t}$$

Equação 4 – Equação da difusividade para fluxo radial em regime transiente - analítico [2]

Onde  $\eta = k / \phi \mu c_t$

Desenvolvendo a equação acima pela regra da cadeia e, substituindo as derivadas pelas aproximações da Série de Taylor *forward*, para a derivada temporal, e centrada para as derivadas espaciais:

$$\frac{1}{\eta} \frac{\partial P}{\partial t} = \frac{1}{r} \left( \frac{\partial P}{\partial r} + r \frac{d^2 P}{dr^2} \right)$$

$$\frac{1}{\eta} \left( \frac{P_i - P_i^0}{\Delta t} \right) = \frac{1}{r_i} \left[ \frac{P_{i+1}^\theta - P_i^\theta}{2 \Delta r} \right] + \frac{P_{i+1}^\theta - 2P_i^\theta + P_{i-1}^\theta}{\Delta r^2}$$

Equação 5 – Equação da difusividade para fluxo radial em regime transiente – discreto

O termo  $\theta$  identifica o tempo  $t_0$  e  $t$  no qual o termo difusivo é calculado[4].

$$P_{i,j}^\theta = \theta P_{i,j} + (1 - \theta) P_{i,j}^0$$

- Se  $\theta = 0$  esquema de discretização totalmente explícito;
- Se  $\theta = 1$  esquema de discretização totalmente implícito;
- Se  $0 < \theta < 1$  esquema de discretização parcialmente implícito.

Figura 3 – Opções de esquema de discretização [4]

### 3.2 Esquema explícito

As informações para o cálculo da variável dependente (pressão) no nó  $i$  são provenientes do tempo anterior ( $\theta = 0$ , condição inicial):

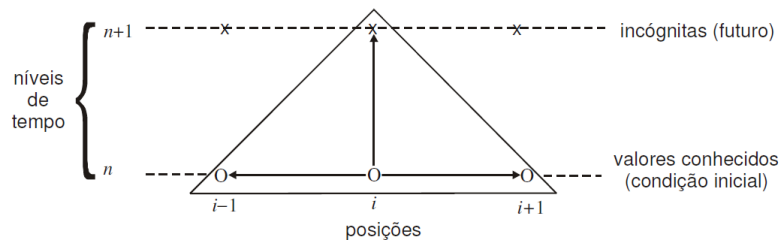


Figura 4 – Discretização usando o método explícito[2]

Então:

$$\frac{1}{\eta} \left( \frac{P_i - P_i^0}{\Delta t} \right) = \frac{1}{r_i} \left[ \frac{P_{i+1}^0 - P_i^0}{2 \Delta r} \right] + \frac{P_{i+1}^0 - 2P_i^0 + P_{i-1}^0}{\Delta r^2}$$

Equação 6 – Equação da difusividade para fluxo radial em regime transiente – esquema explícito

Resolvendo a equação para única incógnita  $P_i$

$$P_i = \left( \frac{\eta \Delta t}{2 r_i \Delta r} + \frac{\eta \Delta t}{\Delta r^2} \right) P_{i+1}^0 + \left( \frac{\eta \Delta t}{\Delta r^2} - \frac{\eta \Delta t}{2 r_i \Delta r} \right) P_{i-1}^0 + \left( 1 - \frac{2 \eta \Delta t}{\Delta r^2} \right) P_i^0$$

Equação 7 – Pressão no nó  $i$  - regime transiente – esquema explícito

Onde os termos entre parênteses são chamados de "transmissibilidade do nó" ( $\tau$ ), assim:

$$P_i = \tau_{i+1} P_{i+1}^0 + \tau_{i-1} P_{i-1}^0 + \tau_i P_i^0$$



Onde

- $\tau_{i+1} = \left( \frac{\eta \Delta t}{2 r_i \Delta r} + \frac{\eta \Delta t}{\Delta r^2} \right)$
- $\tau_{i-1} = \left( \frac{\eta \Delta t}{\Delta r^2} - \frac{\eta \Delta t}{2 r_i \Delta r} \right)$
- $\tau_i = \left( 1 - \frac{2 \eta \Delta t}{\Delta r^2} \right)$

[2] Na fronteira  $r = r_w$  ( $r \rightarrow 0$  ou  $i = 0$ ), a condição de contorno é:

$$\lim_{r \rightarrow 0} \left( r \frac{\partial P}{\partial r} \right) = - \frac{q_0 B_0 \mu}{2 \pi k h}$$

Substituindo na equação original do problema

$$\frac{1}{\eta} \frac{\partial P}{\partial t} = \frac{1}{r} \left( \frac{\partial P}{\partial r} + r \frac{d^2 P}{dr^2} \right) = - \frac{1}{r^2} \frac{q_0 B_0 \mu}{2 \pi k h} + \frac{d^2 P}{dr^2}$$

Equação 8 – Equação do problema de fluxo radial unidimensional para  $r \sim 0$

Então

$$\frac{1}{\eta} \left( \frac{P_i - P_i^0}{\Delta t} \right) = - \frac{1}{r_i^2} \frac{q_0 B_0 \mu}{2 \pi k h} + \frac{P_{i+1}^0 - 2P_i^0 + P_{i-1}^0}{\Delta r^2}$$

ou

$$\frac{1}{\eta} \left( \frac{P_0 - P_0^0}{\Delta t} \right) = - \frac{1}{r_0^2} \frac{q_0 B_0 \mu}{2 \pi k h} + \frac{P_1^0 - 2P_0^0 + P_{-1}^0}{\Delta r^2}$$

Equação 9 – Equação do problema de fluxo radial unidimensional –  
explícito para  $r \sim 0$

De acordo com [5] e [4], para resolver  $P_{-1}$  fictício, utiliza-se a condição de simetria no nó  $i = 0$

$$\left. \frac{dP}{dr} \right|_{r=0} = \frac{P_1^0 - P_{-1}^0}{2 \Delta r} = 0$$

então

$$P_1^0 = P_{-1}^0$$

Portanto, substituindo a igualdade acima na equação 9

$$P_0 = \left( \frac{2 \eta \Delta t}{\Delta r^2} \right) P_1^0 + \left( 1 - \frac{2 \eta \Delta t}{\Delta r^2} \right) P_0^0 - \frac{\eta \Delta t}{r_0^2} \frac{q_0 B_0 \mu}{2 \pi k h}$$

Equação 10 – Equação do problema de fluxo radial unidimensional –  
explícito para  $r \sim 0$

ou

$$P_0 = \tau_1 P_1^0 + \tau_0 P_0^0 + B_0$$

- $\tau_1 = \frac{2\eta\Delta t}{\Delta r^2}$
- $\tau_0 = \left(1 - \frac{2\eta\Delta t}{\Delta r^2}\right)$
- $B_0 = -\frac{\eta\Delta t}{r_0^2} \frac{q_0 B_0 \mu}{2\pi k h}$

[2] Na fronteira  $r = r_e$  ( $r \rightarrow \infty$ ), a condição de contorno é a própria pressão inicial (condição inicial de pressão em  $t = 0$ ).

### 3.3 Esquema implícito

[4] As informações de cálculo da variável dependente (pressão) no nó  $i$  são provenientes inteiramente do tempo atual ( $\theta = 0$ , as equações resultantes que compõem o sistema linear serão todas acopladas):

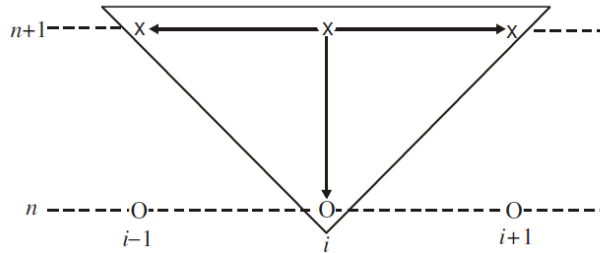


Figura 5 - Discretização usando o método implícito [2]

Então:

$$\frac{1}{\eta} \left( \frac{P_i - P_i^0}{\Delta t} \right) = \frac{1}{r_i} \left[ \frac{P_{i+1} - P_i}{2 \Delta r} \right] + \frac{P_{i+1} - 2P_i + P_{i-1}}{\Delta r^2}$$

Equação 11 – Equação da difusividade para fluxo radial em regime transiente – esquema implícito

Resolvendo a equação para a incógnita  $P_i$

$$\left(1 + \frac{2\eta\Delta t}{\Delta r^2}\right) P_i = \left(\frac{\eta\Delta t}{2r_i\Delta r} + \frac{\eta\Delta t}{\Delta r^2}\right) P_{i+1} + \left(\frac{\eta\Delta t}{\Delta r^2} - \frac{\eta\Delta t}{2r_i\Delta r}\right) P_{i-1} + P_i^0$$

Equação 12 – Equação acoplada da pressão no nó  $i$  - regime transiente – esquema implícito

Ou

$$\tau_i P_i = \tau_{i+1} P_{i+1} + \tau_{i-1} P_{i-1} + P_i^0$$

- $\tau_{i+1} = \left(\frac{\eta\Delta t}{2r_i\Delta r} + \frac{\eta\Delta t}{\Delta r^2}\right)$
- $\tau_{i-1} = \left(\frac{\eta\Delta t}{\Delta r^2} - \frac{\eta\Delta t}{2r_i\Delta r}\right)$
- $\tau_i = \left(1 + \frac{2\eta\Delta t}{\Delta r^2}\right)$

Portanto é possível organizar a equação 12 da seguinte forma (em termos das transmissibilidades):

$$-\tau_{i-1} P_{i-1} + \tau_i P_i - \tau_{i+1} P_{i+1} = P_i^0$$

Equação 13 –Equação acoplada da pressão no nó i - regime transiente  
– esquema implícito

Considerando, por exemplo uma malha com 5 pontos:



$$0 + \tau_0 P_0 - \tau_1 P_1 = P_0^0$$

$$-\tau_0 P_0 + \tau_1 P_1 - \tau_2 P_2 = P_1^0$$

$$-\tau_1 P_1 + \tau_2 P_2 - \tau_3 P_3 = P_2^0$$

$$-\tau_2 P_2 + \tau_3 P_3 - \tau_4 P_4 = P_3^0$$

$$-\tau_3 P_3 + \tau_4 P_4 - 0 = P_4^0$$

Em outras palavras:

$$\begin{bmatrix} \tau_0 & -\tau_1 & 0 & 0 & 0 \\ -\tau_0 & \tau_1 & -\tau_2 & 0 & 0 \\ 0 & -\tau_1 & \tau_2 & -\tau_3 & 0 \\ 0 & 0 & -\tau_2 & \tau_3 & -\tau_4 \\ 0 & 0 & 0 & -\tau_3 & \tau_4 \end{bmatrix}
 \begin{bmatrix} P_0 \\ P_1 \\ P_2 \\ P_3 \\ P_4 \end{bmatrix}
 =
 \begin{bmatrix} P_0^0 \\ P_1^0 \\ P_2^0 \\ P_3^0 \\ P_4^0 \end{bmatrix}$$

Portanto, para uma malha de n pontos:

$$[\tau]_{n \times n} [P]_{n \times 1} = [P^0]_{n \times 1}$$

O campo de pressões a ser calculado será:

$$[P]_{n \times 1} = [\tau]_{n \times n}^{-1} [P^0]_{n \times 1}$$

[2] Na fronteira  $r = r_w$  ( $r \rightarrow 0$  ou  $i=0$ ), a condição de contorno é:

$$\lim_{r \rightarrow 0} \left( r \frac{\partial P}{\partial r} \right) = - \frac{q_0 B_0 \mu}{2\pi k h}$$

Substituindo na equação original do problema

$$\frac{1}{\eta} \frac{\partial P}{\partial t} = \frac{1}{r} \left( \frac{\partial P}{\partial r} + r \frac{d^2 P}{dr^2} \right) = - \frac{1}{r^2} \frac{q_0 B_0 \mu}{2\pi k h} + \frac{d^2 P}{dr^2}$$

Equação 14 – Equação do problema de fluxo radial unidimensional para  $r \sim 0$

Então

$$\frac{1}{\eta} \left( \frac{P_i - P_i^0}{\Delta t} \right) = - \frac{1}{r_i^2} \frac{q_0 B_0 \mu}{2\pi k h} + \frac{P_{i+1} - 2P_i + P_{i-1}}{\Delta r^2}$$

ou

$$\frac{1}{\eta} \left( \frac{P_0 - P_0^0}{\Delta t} \right) = -\frac{1}{r_0^2} \frac{q_0 B_0 \mu}{2\pi k h} + \frac{P_1 - 2P_0 + P_{-1}}{\Delta r^2}$$

Equação 15 – Equação do problema de fluxo radial unidimensional –  
numérico para  $r \sim 0$

De acordo com [5] e [4], para resolver  $P_{-1}$  fictício, utiliza-se a condição de simetria no nó  
 $i = 0$

$$\left. \frac{dP}{dr} \right|_{r=0} = \frac{P_1^0 - P_{-1}^0}{2 \Delta r} = 0$$

então

$$P_1^0 = P_{-1}^0$$

Portanto, substituindo a igualdade acima na equação 15

$$\left( 1 + \frac{2 \eta \Delta t}{\Delta r^2} \right) P_0 = \left( \frac{2 \eta \Delta t}{\Delta r^2} \right) P_1 + P_0^0 - \frac{\eta \Delta t}{r_0^2} \frac{q_0 B_0 \mu}{2\pi k h}$$

Equação 16 – Equação do problema de fluxo radial unidimensional –  
implícito para  $r \sim 0$

ou

$$\tau_0 P_0 - \tau_1 P_1 = B_0$$

- $\tau_1 = \frac{2 \eta \Delta t}{\Delta r^2}$
- $\tau_0 = \left( 1 + \frac{2 \eta \Delta t}{\Delta r^2} \right)$
- $B_0 = P_0^0 - \frac{\eta \Delta t}{r_0^2} \frac{q_0 B_0 \mu}{2\pi k h}$

De forma análoga na fronteira  $r = r_e$  ( $r \rightarrow \infty$ ), fazendo ( $P_{n+1} = P_{n-1}$ ) na equação 12

$$\left( 1 + \frac{2 \eta \Delta t}{\Delta r^2} \right) P_n = \left( \frac{2 \eta \Delta t}{\Delta r^2} \right) P_{n-1} + P_n^0$$

Equação 17 – Equação do problema de fluxo radial unidimensional –  
implícito para  $r \sim r_e$

$$\tau_n P_n - \tau_{n-1} P_{n-1} = P_n^0$$

- $\tau_{n-1} = \frac{2 \eta \Delta t}{\Delta r^2}$
- $\tau_n = \left( 1 + \frac{2 \eta \Delta t}{\Delta r^2} \right)$

## 4. Resultados

Para a implementação numérica, foi utilizada a linguagem de programação em Python 3.8 (gerenciador *Anaconda*). O problema analítico foi implementado junto ao código para comparação dos resultados.

Os códigos estão nos anexos.

### 4.1 Analítico

O resultado do problema analítico (Exercício 1 - Lista 1) está reproduzido na imagem abaixo.

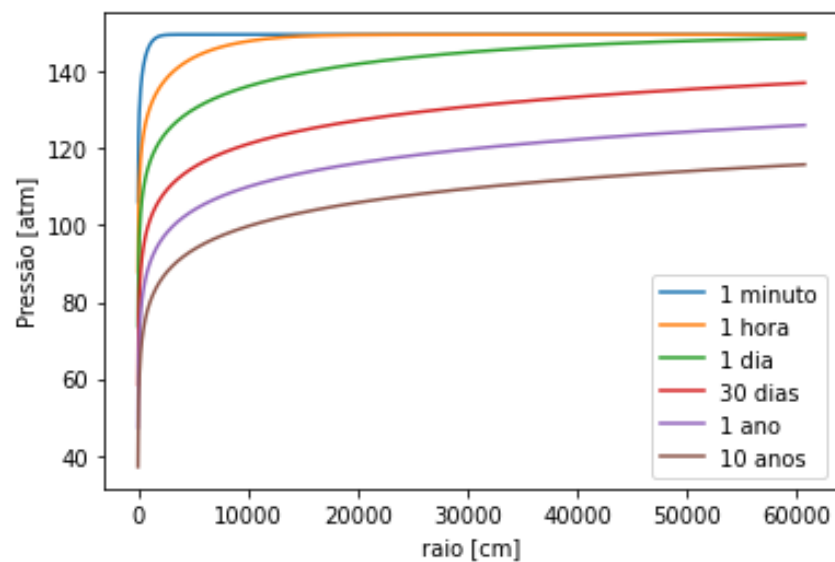


Figura 6 – Caso analítico ( $re = 609.6m$ )

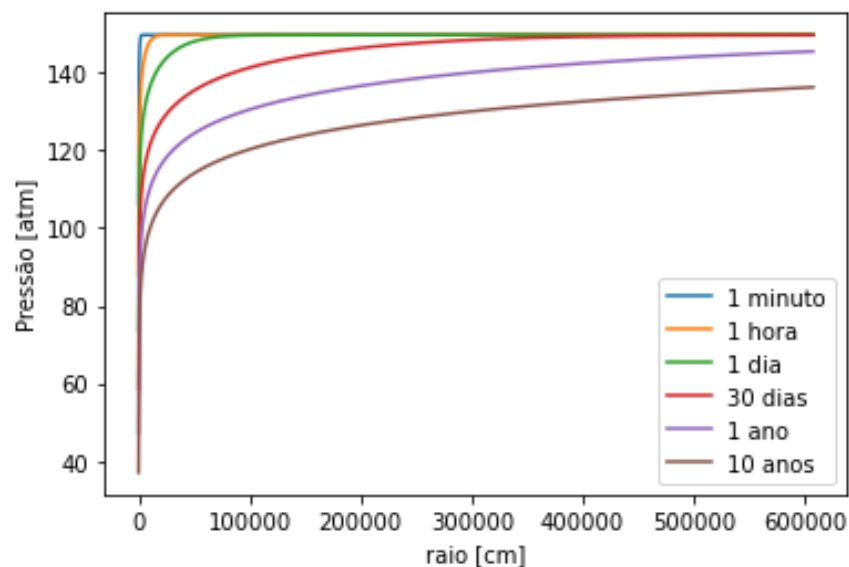


Figura 7 - Caso analítico ( $re = 6 km$ )

## 4.2 Numérico – esquema explícito

Os resultados numéricos no esquema explícito no regime transiente estão apresentados nas figuras abaixo:

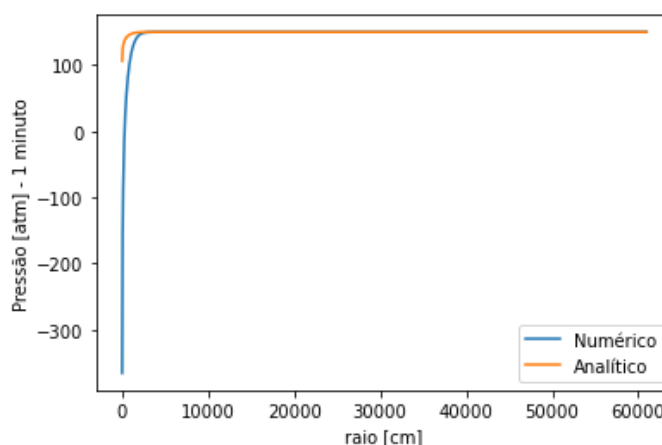


Figura 8 - Numérico - explícito – 1 minuto ( $re = 609.6m$ )

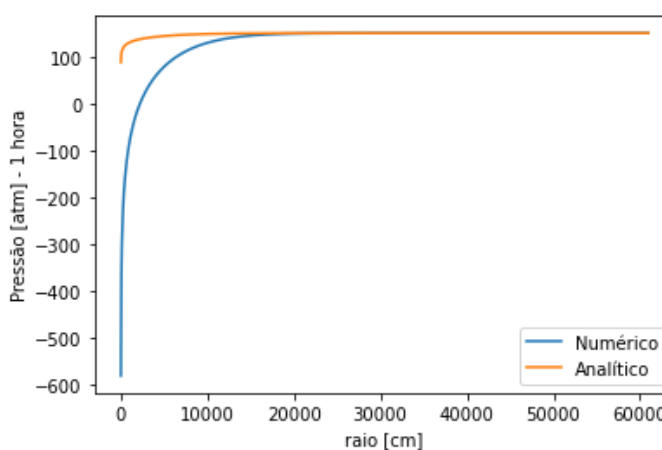


Figura 9 - Numérico - explícito – 1 hora ( $re = 609.6m$ )

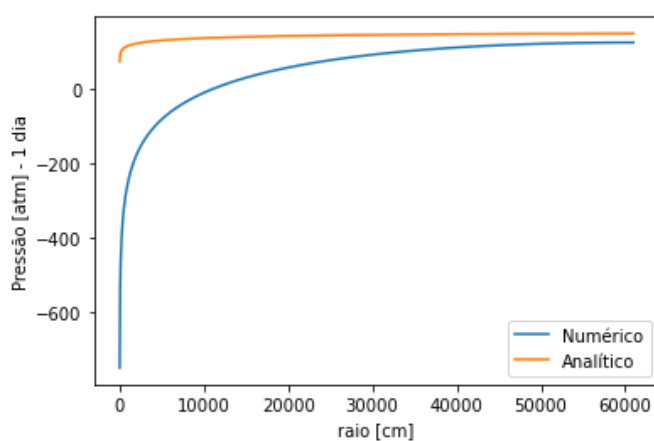


Figura 10 - Numérico - explícito – 1 dia ( $re = 609.6m$ )

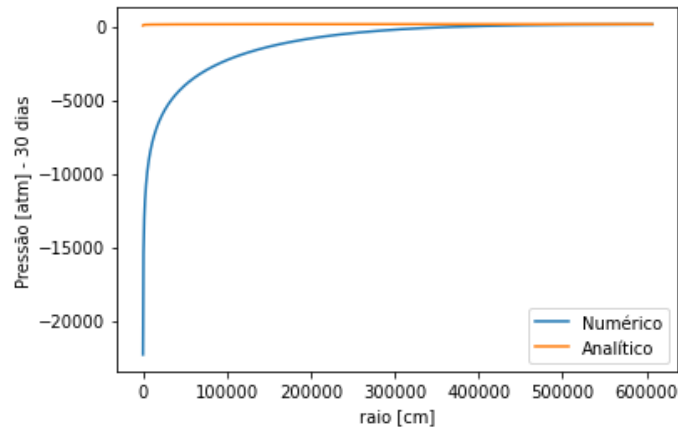


Figura 11 - Numérico - explícito - 30 dias ( $re = 6 \text{ km}$ )

O programa possui limitações de tempo de rodada para análises maiores que 30 dias (4 horas de simulação). Por isso, não foram apresentados os resultados numéricos para 1 ano e 10 anos.

## 4.3 Numérico – esquema implícito

Os resultados numéricos no esquema implícito no regime transiente estão apresentados nas figuras abaixo:

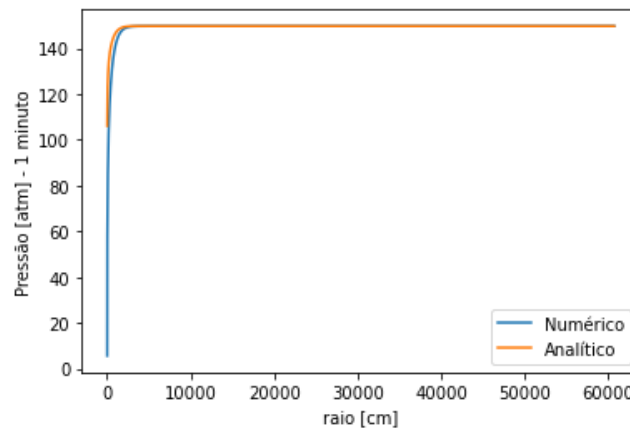


Figura 12- Numérico - implícito - 1 minuto ( $re = 609.6m$ )

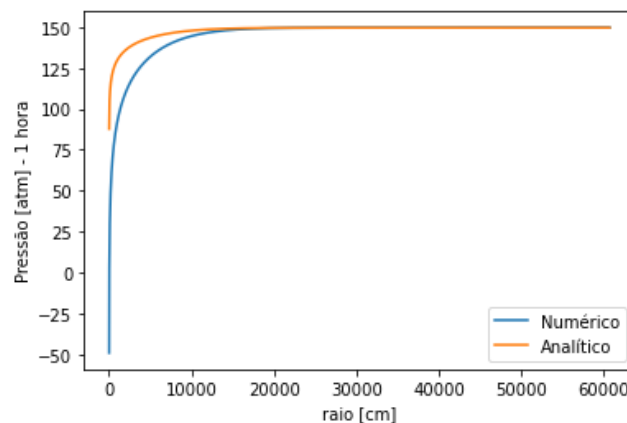


Figura 13 - Numérico - implícito - 1 hora ( $re = 609.6m$ )

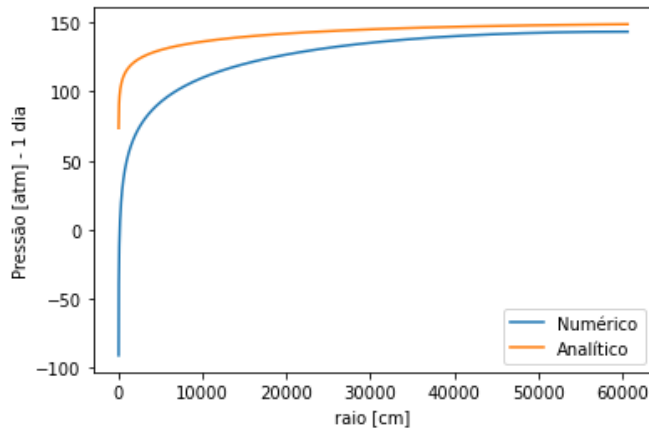


Figura 14 - Numérico - implícito - 1 dia ( $re = 609.6m$ )

O programa possui limitações de tempo de rodada para análises maiores que 1 dia (4 horas de simulação). Por isso, não foram apresentados os resultados numéricos para 30 dias, 1 ano e 10 anos.

## 5. Conclusão

Os resultados mostram que, para o esquema explícito os resultados tendem a divergir com o tempo. Já no esquema implícito o erro é menor, há uma tendência de convergir para os resultados analíticos.

Conclui-se que o esquema implícito é mais estável que o explícito pelo fato de os coeficientes das variáveis dependentes serem positivos.

O programa Python é um bom compilador (ou interpretador) para uma primeira implementação de análise numérica, no entanto, pode ter limitações de tempo de simulação para análises mais robustas.

Vale a pena reproduzir os exercícios com outros interpretadores como o *Wolfram Mathematica*.

## 6. Referências bibliográficas

- [1] Lista 2
- [2] Adalberto J. Rosa, Renato de S.Carvalho e José A. Daniel Xavier, Engenharia de Reservatórios de Petróleo
- [3] Aula 5 - Séries de Taylor
- [4] Aula 6 – Método das diferenças finitas
- [5] Osik M,Necati. Heat Conduction



# Anexos

## Análítico

```

8 #Resolução do Problema 1 - Lista 1:Fluxo radial unidimensional - analítico
9
10 import math as m
11 import matplotlib.pyplot as plt
12 import scipy.special as sc
13
14 #Dados de entrada
15 re = 60690 #raio externo [cm]
16 rw = 8.9 #raio do poço [cm]
17 h = 304.8 #espessura do reservatório [cm]
18 pi = 149.7 #pressão inicial [atm]
19 q0 = 5180 #vazão [cm³ std/ s]
20 k = 0.15 #permeabilidade [Darcy]
21 phi = 0.2 #porosidade [%]
22 ct = 0.0002204 #compressibilidade total [1/atm]
23 mu = 0.33 #viscosidade [cp]
24 Bo = 1.5 #fator volume formação [m³/m³ std]
25 g = 1.78108 #gamma para p em rw
26
27
28 C = Bo*q0*mu/(4*m.pi*k*h) #parte constante da equação 3.225 de Rosa et al.
29
30 t1 = 60 #[s] t = 1 min
31 t2 = 60*60 #[s] t = 1 hora
32 t3 = 60*60*24 #[s] t = 1 dia
33 t4 = 60*60*24*30 #[s] t = 30 dias
34 t5 = 60*60*24*365 #[s] t = 1 ano
35 t6 = 60*60*24*365*10 #[s] t = 10 anos
36
37
38 #Definindo a lista de raios - r[0] = 0 metros. A correção será aplicada no cálculo da pressão.
39 r = [] #lista a ser montada
40 n = 1000 #quantidade de termos
41
42 for i in range(n+1):
43     r = r + [i*(re-rw)/n]
44
45 print(r[-1]) #teste para saber o último valor: r[n+1]
46
47 #Perfil de pressão para t = 1min
48 p1 = [] #lista a ser montada
49
50 for i in range(n+1):
51     p1 = p1 + [pi+C*sc.expi(-phi*mu*ct*r[i]**2/(4*k*t1))] #montagem da lista para p1@1min
52
53 p1[0] = pi+C*sc.expi(-phi*mu*ct*rw**2/(4*k*t1)) #correção para r[0] = rw
54
55 print(p1[-1]) #teste para saber o último valor: p1[n+1]
56
57
58 #Perfil de pressão para t = 1hora
59 p2 = []
60
61 for i in range(n+1):
62     p2 = p2 + [pi+C*sc.expi(-phi*mu*ct*r[i]**2/(4*k*t2))]
63
64 p2[0] = pi+C*sc.expi(-phi*mu*ct*rw**2/(4*k*t2))
65
66 print(p2[-1])
67
68
69 #Perfil de pressão para t = 1 dia
70 p3 = []
71
72 for i in range(n+1):
73     p3 = p3 + [pi+C*sc.expi(-phi*mu*ct*r[i]**2/(4*k*t3))]
74
75 p3[0] = pi+C*sc.expi(-phi*mu*ct*rw**2/(4*k*t3))
76
77 print(p3[-1])
78
79 #Perfil de pressão para t = 30 dias
80 p4 = []
81
82 for i in range(n+1):
83     p4 = p4 + [pi+C*sc.expi(-phi*mu*ct*r[i]**2/(4*k*t4))]
84
85 p4[0] = pi+C*sc.expi(-phi*mu*ct*rw**2/(4*k*t4))
86
87 print(p4[-1])
88
89 #Perfil de pressão para t = 1 ano
90 p5 = []
91
92 for i in range(n+1):
93     p5 = p5 + [pi+C*sc.expi(-phi*mu*ct*r[i]**2/(4*k*t5))]
94
95 p5[0] = pi+C*sc.expi(-phi*mu*ct*rw**2/(4*k*t5))
96
97 print(p5[-1])
98
99 #Perfil de pressão para t = 10 anos
100 p6 = []
101
102 for i in range(n+1):
103     p6 = p6 + [pi+C*sc.expi(-phi*mu*ct*r[i]**2/(4*k*t6))]
104
105 p6[0] = pi+C*sc.expi(-phi*mu*ct*rw**2/(4*k*t6))
106
107 print(p6[-1])
108
109
110 #Gráficos
111 plt.plot(r,p1, label="1 minuto")
112 plt.plot(r,p2, label="1 hora")
113 plt.plot(r,p3, label="1 dia")
114 plt.plot(r,p4, label="30 dias")
115 plt.plot(r,p5, label="1 ano")
116 plt.plot(r,p6, label="10 anos")
117 plt.xlabel('raio [cm]')
118 plt.ylabel('Pressão [atm]')
119 plt.legend()
120 plt.show()

```

## Numérico -Explícito

```

8 #Resolução do Problema 2 - Lista 2:Fluxo radial unidimensional - numérico
9 #Método explícito
10
11 import math as m
12 import scipy.special as sc
13 import matplotlib.pyplot as plt
14
15
16 #1 - Dados de entrada
17 re = 60960 #raio externo [cm]
18 rw = 8.9 #raio da poço [cm]
19 h = 304.8 #espessura do reservatório [cm]
20 pi = 149.7 #pressão inicial [atm]
21 q0 = 5180 #vazão [cm³ std/ s]
22 k = 0.15 #permeabilidade [Darcy]
23 phi = 0.2 #porosidade [%100]
24 ct = 0.0002204 #compressibilidade total [1/atm]
25 mu = 0.33 #viscosidade [cp]
26 Bo = 1.5 #fator volume formação [m³/m³ std]
27 g = 1.78108 #gamma para p em rw
28
29
30 #2 - Cálculo das constantes
31
32 dt = 0.05 #passo de tempo [s]
33 dr = 60.96 #espessamento da malha [cm]
34
35 ni = k/(phi*mu*ct) #constante de difusividade hidráulica - eq.3.113 de Rosa et al.
36
37 #parcelas constantes da transmissibilidade do nó
38 tau_c1 = ni*dt/(dr**2)
39 tau_c2 = ni*dt/(2*dr) #parcela que multiplica 1/ri no cálculo da pressão
40
41 #parcelas constantes B - relativo às pressões no poço
42 cc = Bo*q0*mu/(2*m.pi*k*h)
43
44
45 #3 - Definição da lista de raios - pontos i - que serão calculados o campos de pressão
46
47 r = []
48 n = int(re/dr)
49 for i in range(n+1):
50     r += [i*dr]
51 r[0] = rw #correção r1 = 0 para r1 = rw
52
53 print(r[-1]) #teste para saber o último valor: r[n+1]
54
55 Nr = len(r) #numero de pontos no espaço
56
57
58 #4 - Condições iniciais
59
60 t1 = 60*60*24 #30 #[s] tempo total de análise
61 Nt = int(t1/dt) #número de passos no tempo
62
63 Pi = [] #campo de pressões iniciais
64 for i in range(Nr): #Pi = [pi for i in range(Nr)]
65     Pi += [pi]
66
67
68 #5 - Cálculo do campos de pressões no tempo (numérico)
69
70 P = [] #pressões no tempo presente
71 P_aux = [] #pressões no tempo futuro
72 for i in range(Nt):
73     if i == 0:
74         P = Pi.copy()
75         print('it =', i, '// t[s] =', round(i*dt, 2), '// horas =', round(i*dt/3600, 2), '// dias =', round(i*dt/3600/24, 2),
76               '// mes =', round(i*dt/3600/24/30.2, 1), '// ano =', round(i*dt/3600/24/365.5, 1), '// pw[atm] =', round(P[0], 2))
77     else:
78         P = P_aux.copy()
79         P_aux = []
80         print('it =', i, '// t[s] =', round(i*dt, 2), '// horas =', round(i*dt/3600, 2), '// dias =', round(i*dt/3600/24, 2),
81               '// mes =', round(i*dt/3600/24/30.2, 1), '// ano =', round(i*dt/3600/24/365.5, 1), '// pw[atm] =', round(P[0], 2))
82         for j in range(Nr):
83             if j == 0:
84                 P_aux += [2*tau_c1*P[j+1]+(1-2*tau_c1)*P[j] - (ni*dt/(r[j]**2))*cc]
85             elif j == Nr-1:
86                 P_aux += [P_aux[j-1]]
87             else:
88                 P_aux += [((1/r[j])*tau_c2+tau_c1)*P[j+1] + (tau_c1-(1/r[j])*tau_c2)*P[j-1] + (1 - 2*tau_c1)*P[j]]
89
90         print(P_aux[-1])
91
92
93
94
95 #6 - Perfil de pressão (analítico)
96 C = Bo*q0*mu/(4*m.pi*k*h) #parte constante da equação 3.225 de Rosa et al.
97
98 p1 = [] #lista a ser montada
99
100 for i in range(Nr):
101     p1 = p1 + [pi+C*sc.expi(-(phi*mu*ct*r[i]**2/(4*k*t1)))] #montagem da lista para p1@t1
102
103
104 print(p1[-1]) #teste para saber o último valor: p1[n+1]
105
106
107 #7 - Gráficos
108 plt.plot(r, P_aux, label="Numérico")
109 plt.plot(r, p1, label="Analítico")
110 plt.xlabel('raio [cm]')
111 plt.ylabel('Pressão [atm] - 1 dia')
112 plt.legend()
113 plt.show()
114

```

## Numérico – Implícito

```

8 #Resolução do Problema 2 - Lista 2:Fluxo radial unidimensional - numérico
9 #Método implícito
10
11 import math as m
12 import scipy.special as sc
13 import matplotlib.pyplot as plt
14
15 #1 - Dados de entrada
16 re = 60690 #raio externo [cm]
17 rw = 8.9 #raio da poço [cm]
18 h = 304.8 #espessura do reservatório [cm]
19 pi = 149.7 #pressão inicial [atm]
20 q0 = 5180 #vazão [cm³ std/ s]
21 kk = 0.15 #permeabilidade [Darcy]
22 phi = 0.2 #porosidade [%100]
23 ct = 0.0002204 #compressibilidade total [1/atm]
24 mu = 0.33 #viscosidade [cp]
25 Bo = 1.5 #fator volume formação [m³/m³ std]
26 g = 1.78108 #gamma para p em rw
27
28
29 #2 - Cálculo das constantes
30
31 dt = 15 #passo de tempo [s]
32 dr = 30.345 #espaçamento da malha [cm]
33
34 ni = kk/(phi*mu*ct) #constante de difusividade hidráulica - eq.3.113 de Rosa et al.
35
36 #parcelas constantes da transmissibilidade do nó
37 tau_c1 = ni*dt/(dr**2)
38 tau_c2 = ni*dt/(2*dr) #parcela que multiplica 1/ri no cálculo da pressão
39
40 # parcelas constantes relativo ao pw
41 cc = Bo*q0*mu/(2*m.pi*kk*h)
42
43 #3 - Definição da lista de raios - pontos i - que serão calculados o campos de pressão
44 #A quantidade de nós, Nr, irá definir o tamanho da matriz das transmissibilidades - Nr x Nr
45
46 r = []
47 n = int(re/dr)
48 for i in range(n+1):
49     r += [i*dr]
50 r[0] = rw #correção r1 = 0 para r1 = rw
51
52 print(r[-1]) #teste para saber o último valor: r[n+1]
53
54 Nr = len(r) #numero de pontos no espaço
55
56 #4 - Condições iniciais
57
58 t1 = 60 #60*24 #[s] tempo total de análise
59 Nt = int(t1/dt) #número de passos no tempo
60
61 Pi = [] #campo de pressões iniciais
62 for i in range(Nr): #Pi = [pi for i in range(Nr)]
63     Pi += [pi]
64
65 #5 - Montagem da matriz de transmissibilidades
66
67 #matriz zerada
68 tr = []
69 for i in range(Nr):
70     tr += [[]]
71 for i in range(Nr):
72     tr[i] += [0 for j in range(Nr)]
73
74 #matriz tri - diagonal
75 for i in range(Nr):
76     for j in range(Nr):
77         if i==j:
78             tr[i][j] = 1 + 2*tau_c1 #parcela diagonal
79         elif j-i == 1:
80             tr[i][j] = -2*tau_c1 #diagonal superior
81         elif j-i == -1:
82             tr[i][j] = -(tau_c2*(1/r[i]) + tau_c1) #diagonal inferior
83         else:
84             tr[i][j] = -2*tau_c1
85         else:
86             tr[i][j] = -(tau_c1 - tau_c2*(1/r[i]))
87
88 #6 - Inversão da matriz de transmissibilidade
89 #https://numpy.org/doc/stable/reference/generated/numpy.linalg.inv.html?highlight=inv#numpy.linalg.inv
90
91 from numpy.linalg import inv
92 tr_inv = inv(tr)
93
94 #7 - Cálculo do campos de pressões no tempo (numérico)
95
96 P = [] #pressões no tempo presente
97 P_aux = [] #pressões no tempo futuro
98
99 for k in range(Nt):
100     if k == 0:
101         P = Pi.copy()
102         print('it =', k, '// t[s] =', round(k*dt, 2), '// horas =', round(k*dt/3600, 2), '// dias =', round(k*dt/3600/24, 2),
103               '// mes =', round(k*dt/3600/24/30.2, 1), '// ano =', round(k*dt/3600/24/365.5, 1), '// pw[atm] =', round(P[0], 2))
104     else:
105         P = P_aux.copy()
106         P_aux = []
107         print('it =', k, '// t[s] =', round(k*dt, 2), '// horas =', round(k*dt/3600, 2), '// dias =', round(k*dt/3600/24, 2),
108               '// mes =', round(k*dt/3600/24/30.2, 1), '// ano =', round(k*dt/3600/24/365.5, 1), '// pw[atm] =', round(P[0], 2))
109     for i in range(Nr):
110         P_aux += [0]
111         for j in range(Nr):
112             if j == 0:
113                 P_aux[i] = P_aux[i] + tr_inv[i][j]*(P[j] - (ni*dt/(r[j]**2))*cc)
114             else:
115                 P_aux[i] = P_aux[i] + tr_inv[i][j]*P[j]
116
117 print(P_aux[-1])

```

<pre> 127 #8 - Perfil de pressão (analítico) 128 C = Bo*q0*mu/(4*m.pi*kk*h) 129 130 p1 = [] 131 132 for i in range(Nr): 133     p1 = p1 + [pi+C*sc.expi(-phi*mu*ct*r[i]**2/(4*kk*t1))] 134 135 136 print(p1[-1]) 137 138 139 #7 - Gráficos 140 plt.plot(r, P_aux, label="Numérico") 141 plt.plot(r, p1, label="Analítico") 142 plt.xlabel('raio [cm]') 143 plt.ylabel('Pressão [atm] - 1 minuto') 144 plt.legend() 145 plt.show() 146 </pre>	<pre> #parte constante da equação 3.225 de Rosa et al.  #lista a ser montada  #montagem da lista para p1@t1  #teste para saber o último valor: p1[n+1] </pre>
--	---